

УДК 621.43

ИЗМЕНЕНИЯ ЭФФЕКТИВНЫХ ПАРАМЕТРОВ РАБОТЫ ПОРШНЕВОГО ПНЕВМОДВИГАТЕЛЯ ПО СКОРОСТНЫМ ХАРАКТЕРИСТИКАМ

**А.И. Воронков, доцент, к.т.н., И.Н. Никитченко, научн. сотр.,
Э.В. Тесленко, инженер, ХНАДУ, А.М. Минин, инженер**

Аннотация. Рассмотрены закономерности изменения эффективных параметров работы поршневого пневмодвигателя с золотниковым воздухораспределением по двум скоростным характеристикам.

Ключевые слова: поршневой пневмодвигатель, скоростные характеристики, крутящий момент, эффективная мощность, расход воздуха.

ЗМІНЕННЯ ЕФЕКТИВНИХ ПАРАМЕТРІВ РОБОТИ ПОРШНЕВОГО ПНЕВМОДВИГУНА ЗА ШВІДКІСНИМИ ХАРАКТЕРИСТИКАМИ

**О.І. Воронков, доцент, к.т.н., І.М. Нікітченко, наук. співроб.,
Е.В. Тесленко, інженер, ХНАДУ, А.М. Мінін, інженер**

Анотація. Розглянуто закономірності змінення ефективних параметрів роботи поршневого пневмодвигуна із золотниковим повітророзподілом за двома швидкісними характеристиками.

Ключові слова: поршневий пневмодвигун, швидкісні характеристики, крутний момент, ефективна потужність, витрата повітря.

VARIATION OF MAIN PARAMETERS OF THE OPERATION OF THE RECIPROCATING ENGINE ACCORDING TO SPEED PERFORMANCES

**A. Voronkov, Associate Professor, I. Nikitchenko, researcher,
Ye. Teslenko, engeneer, KhNAHU, A. Minin, engeneer**

Abstract. Conformity of changing of main parameters at operation of the reciprocating engine with air spool diffuser on two speed performances was investigated.

Key words: piston pneumatic engine, speed parameters, torque, effective power, air consumption.

Введение

Скоростные характеристики пневмодвигателя – это экспериментально полученные зависимости основных энергетических и экономических показателей его работы от частоты вращения вала при сохранении неизменными давления $p_{\text{вх}}$ и температуры $t_{\text{вх}}$ поступающего сжатого воздуха на входе. Общий характер (форма) этих зависимостей для специалистов общеизвестны. Технические паспорта серийно выпускаемых и находящихся в продажах пневмодвигателей обязательно содер-

жат скоростные характеристики при nominalном давлении $p_{\text{вх}}$. По паспортной скоростной характеристике потребителя интересуют главным образом величины требуемого давления сжатого воздуха $p_{\text{вх}}$, частота вращения вала при максимальной мощности $n_{\text{ном}}$ и значение этой мощности $N_{\text{e ном}}$, скоростной диапазон рабочих режимов (примерно от 0,6 до 1,0 $N_{\text{e ном}}$), часовой и удельный, кг/(кВт·ч), расходы воздуха, пусковой крутящий момент (при $n=0$). На этапах создания и доводки пневмодвигателя с целью обоснованного выбора пара-

метров его работы выполняются экспериментальные исследования, при которых снимаются скоростные характеристики при различных уровнях давления $p_{\text{вх}}$ и температур $t_{\text{вх}}$.

В данной статье рассмотрены результаты стендовых испытаний созданного на кафедре ДВС ХНАДУ поршневого пневмодвигателя по снятию скоростных характеристик при двух уровнях давлений сжатого воздуха $p_{\text{вх1}}=0,7$ МПа=idem и $p_{\text{вх2}}=0,9$ МПа=idem в условиях работы без подогрева и с подогревом этого воздуха перед его поступлением в золотниковую воздухораспределительную систему $t_{\text{вх}}=90\text{--}130$ °C.

Анализ публикаций

Обзор литературы показал [1–10], что многие зарубежные фирмы, использующие преимущества пневмодвигателя, ведут работы, повышающие его эффективные показатели. Наиболее существенно можно уменьшить расход воздуха за счет применения клапанной системы воздухораспределения с изменяемыми фазами и подогревом сжатого воздуха на впуске.

Объект исследования

Объектом исследования является поршневой пневмодвигатель, разработанный на кафедре ДВС ХНАДУ на базе двигателя 4Ч 7,6х6,6 воздушного охлаждения. Это V-образный четырехцилиндровый пневмодвигатель с золотниковой системой воздухораспределения. Наличие четырех цилиндров позволяет получить равномерный крутящий момент. Возможность пуска из любого положения обеспечивается конструкцией коленчатого вала. Для этого серийный коленчатый вал с крестообразной формой расположения кривошипов заменили специально изготовленным коленчатым валом с двумя кривошипами под углом 180°. К каждому кривошипу присоединен шатун от левого и правого цилиндров.

Испытательный стенд и методика испытаний

Пневмодвигатель установлен в лаборатории кафедры ДВС ХНАДУ на специально созданном стенде [4], позволяющем производить измерения быстроменяющихся процессов, оборудованном автономными систе-

мами регулирования температур масла и воздуха.

Стенд входит в измерительный комплекс, оснащенный контрольно-измерительной аппаратурой согласно ГОСТ 14846-81, позволяющей производить измерение с допустимой погрешностью следующих параметров:

- низких и высоких давлений воздуха на впуске в пневмодвигатель и в цилиндре пневмодвигателя – с помощью тензодатчиков давлений;
- угла поворота коленчатого вала;
- положения поршня в верхней мертвой точке;
- температур воздуха до и после нагревателя, на впуске в пневмодвигатель и на выпуске – с помощью хромель-копелевых термопар;
- расхода сжатого воздуха через пневмодвигатель – с помощью ротационного расходомера G160 GMS DY-80.

Эффективный крутящий момент пневмодвигателя определяется по формуле

$$M_e = 9,81 \cdot P_h \cdot l, \text{Н}\cdot\text{м},$$

где P_h – сила нагрузки, кГ; $l = 0,5$ м – плечо балансирной машины.

Эффективная мощность пневмодвигателя определяется силой нагрузки P_h и частотой вращения коленчатого вала n

$$N_e = A \cdot P_h \cdot n, \text{ кВт},$$

$$\text{где } A = \frac{\pi \cdot l \cdot 9,81}{3 \cdot 10^4} = \frac{\pi \cdot 0,5 \cdot 9,81}{3 \cdot 10^4} = 0,0005137.$$

Для определения силы нагрузки P_h на стенде использовался весовой терминал КОДА 2, который предназначен для измерения сигнала тензодатчиков чувствительного элемента.

Для измерения расхода воздуха G (кг/ч) использовался ротационный расходомер G160 GMS DY80.

Удельный расход воздуха определялся по зависимости

$$g_{ve} = \frac{G}{N_e}, \quad \frac{\text{кг}}{\text{kBt} \cdot \text{ч}}.$$

Температура сжатого воздуха на впуске при работе без подогрева поддерживалась в пределах 18–22 °С. При работе с подогревом электрический нагреватель на всех режимах испытаний включался на полную мощность и поэтому, в связи с различным уровнем расхода воздуха, его температура на входе изменялась в пределах $t_{\text{вх}} = 90$ –130 °С.

Результаты испытаний

Как видно из рис. 1, при давлении сжатого воздуха на входе $p_{\text{вх}} = 0,7$ МПа его расход с увеличением числа оборотов линейно возрастает от $G = 200$ кг/ч при $n = 200$ мин⁻¹ до $G = 330$ кг/ч при $n = 1000$ мин⁻¹.

Крутящий момент имеет максимальное значение $M_e = 70$ Н·м при минимальных оборотах $n = 200$ мин⁻¹, линейно снижаясь до $M_e = 12$ Н·м при $n = 1000$ мин⁻¹. Мощность пневмодвигателя возрастает со значения $N_e = 1,5$ кВт при $n = 200$ мин⁻¹ до $N_e = 2,8$ кВт при $n = 600$ мин⁻¹, а затем снижается до $N_e = 1,8$ кВт при $n = 1000$ мин⁻¹ из-за больших гидравлических потерь. Удельный расход воздуха изменяется от $g_{ve} = 135$ кг/(кВт·ч) при $n = 200$ мин⁻¹ до $g_{ve} = 190$ кг/(кВт·ч) при $n = 1000$ мин⁻¹ и имеет минимальное значение $g_{ve} = 90$ кг/(кВт·ч) при $n = 550$ мин⁻¹.

Применение подогрева сжатого воздуха на впуске позволяет несколько улучшить показатели. Так, часовой расход воздуха снижается на 50 кг/ч (на 25 %) во всем диапазоне оборотов; крутящий момент возрастает на 8 Н·м (на 20 %) во всем диапазоне оборотов; мощность увеличивается от 0,2 кВт (или на 7 %) при $n = 200$ мин⁻¹ и при $n = 1000$ мин⁻¹ до 0,5 кВт (на 17 %) при $n = 600$ мин⁻¹; удельный расход сжатого воздуха снижается от 25 кг/(кВт·ч) (на 30 %) при $n = 200$ –600 мин⁻¹ до 55 кг/(кВт·ч) (на 30 %) при $n = 1000$ мин⁻¹ по сравнению с расходом без подогрева. На рис. 1 видно, что все кривые с подогревом сжатого воздуха и без подогрева проходят практически эквидистантно. Для данного давления сжатого воздуха наиболее оптимальный режим работы находится в диапазоне оборотов $n = 500$ –650 мин⁻¹.

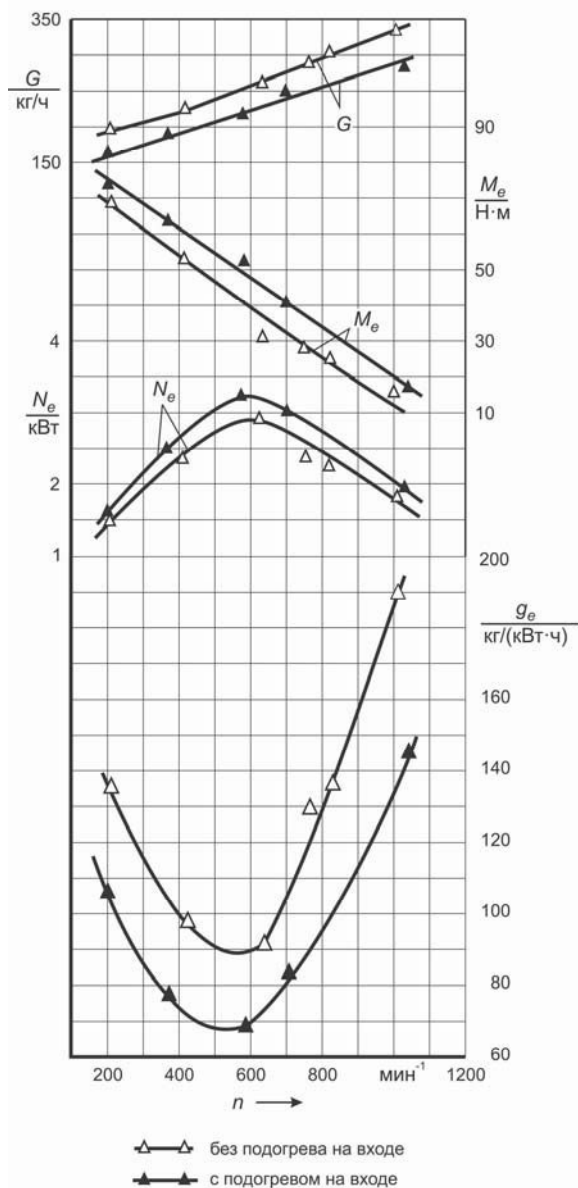


Рис. 1. Скоростная характеристика пневмодвигателя при $p_{\text{вх}} = 0,7$ мПа

При увеличении давления сжатого воздуха на впуске в пневмодвигатель до $p_{\text{вх}} = 0,9$ МПа (рис. 2) возрастает крутящий момент до 110 Н·м при $n = 200$ мин⁻¹, который затем практически линейно снижается до 30 Н·м при $n = 1000$ мин⁻¹. Мощность возрастает от 2,2 кВт при $n = 200$ мин⁻¹ до 3,9 кВт при $n = 750$ мин⁻¹, а затем снижается до 3,7 кВт при $n = 1000$ мин⁻¹. Из графика видно, что максимум мощности сместился в сторону более высоких оборотов.

Удельный расход сжатого воздуха $g_{ve} = 120$ кг/(кВт·ч) при $n = 200$ мин⁻¹ и $g_{ve} = 125$ кг/(кВт·ч) при $n = 1000$ мин⁻¹, а его минимум $g_{ve} = 87$ кг/(кВт·ч) – при $n = 500$ мин⁻¹.

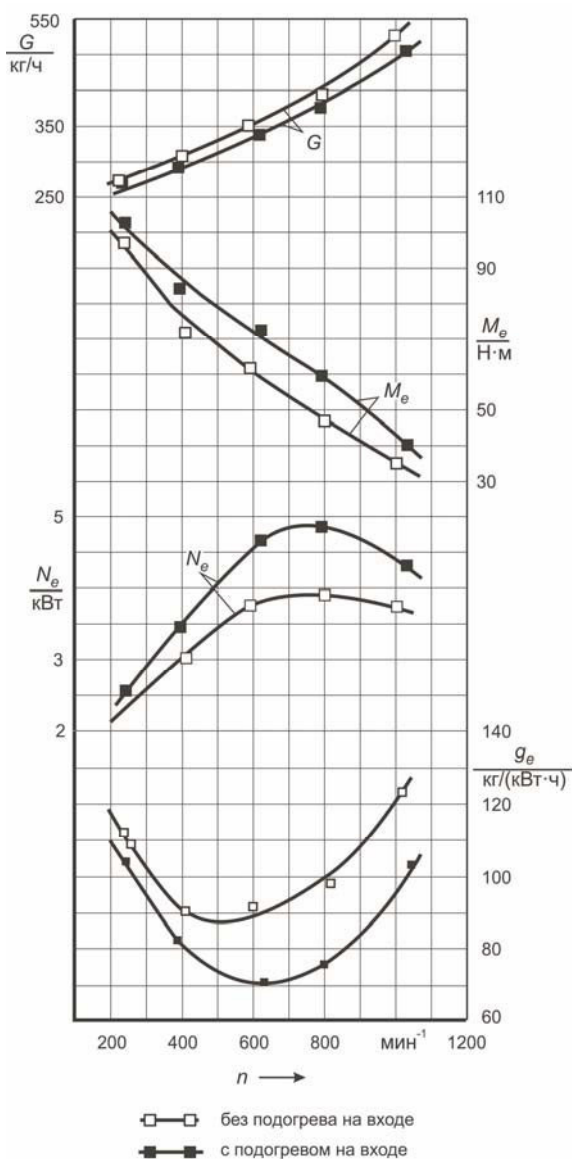


Рис. 2. Скоростная характеристика пневмомотора при $p_{\text{вх}} = 0,9$ МПа

Применение подогрева сжатого воздуха оказывает такое же влияние на показатели, как и при давлении $p_{\text{вх}} = 0,7$ МПа: снижается расход энергоносителя – часовой на 25 кг/ч или на 9 % при $n = 200\text{--}1000$ мин⁻¹; удельный – на 10 кг/кВт·ч (на 10 %) при $n = 200$ мин⁻¹, на 20 кг/кВт·ч (на 22 %) при $n = 600$ мин⁻¹, на 20 кг/кВт·ч (на 22 %) при $n = 1000$ мин⁻¹. При этом минимум g_e смешается в сторону более высоких оборотов ($n = 600\text{--}650$ мин⁻¹). Повышается мощность от 0,5 кВт (на 23 %) при $n = 200$ мин⁻¹ до 1 кВт (на 25 %) – при $n = 700\text{--}750$ мин⁻¹ и 0,7 кВт (на 22 %) – при $n = 1000$ мин⁻¹; возрастает крутящий момент от 5 Н·м (на 17 %) при $n = 200$ мин⁻¹ до 10 Н·м (на 17 %) при $n = 600\text{--}800$ мин⁻¹ и 7 Н·м (23 %) – при $n = 1000$ мин⁻¹.

Для давления сжатого воздуха $p_{\text{вх}} = 0,9$ МПа наиболее приемлемый режим с максимальной мощностью и минимальным расходом сжатого воздуха находится в более широком диапазоне оборотов – 500–800 мин⁻¹.

Выводы

Проанализировав полученные данные, можно сделать следующие заключения.

1. По результатам проведенных экспериментов более выгодным является режим с давлением $p_{\text{вх}} = 0,9$ МПа и подогревом сжатого воздуха на впуске. На этом режиме мощность и крутящий момент также имеют более высокие значения (на 1,5 кВт и на 15 Н·м соответственно), а минимум удельного расхода энергоносителя $g_e = 70$ кг/кВт·ч в более широком диапазоне оборотов и практически равен расходу $g_e = 67$ кг/кВт·ч при $p_{\text{вх}} = 0,7$ МПа. Но при этом увеличивается часовий расход сжатого воздуха G примерно на 70 %.
2. В работе получены скоростные характеристики поршневого пневмомотора с золотниковым воздухораспределением, которые позволили оценить экономические и эффективные показатели работы пневмомотора на режимах $p_{\text{вх}} = 0,7$ МПа и $p_{\text{вх}} = 0,9$ МПа в диапазоне частот вращения $n = 200\text{--}1000$ мин⁻¹.
3. Подогрев сжатого воздуха на впуске (на 75–100 °C) увеличивает эффективную мощность и эффективный крутящий момент на 14–17 %; удельный расход воздуха снижается на 20–25 %. С увеличением давления экстремум g_e смещается в сторону больших оборотов.
4. Наиболее приемлемым является режим при $p_{\text{вх}} = 0,9$ МПа с подогревом сжатого воздуха на впуске. При этом приходится жертвовать временем автономной работы энергостанции, что, впрочем, при применении ее на городском транспорте не имеет решающего значения.

Литература

1. Potenziale hybridisierter nutzfafahzeuge / Christian Beidl, Magnus Schmitt, Matthias Kluin, Bernd Lenzen // MTZ. – 2011. – №6. – P. 432–437.

2. High-performance pneumatic hybrid engine with costeffectise valvetrain / Michael Bütikofer. – MTZ. – 2011. – №2. – Р. 54–58.
3. Коммерческие концептуальные автомобили из Японии // Автостроение за рубежом. – 2004. – №3. – С. 2–3.
4. Абрамчук Ф.І. Стенд для випробування і дослідження пневмодвигунів / Ф.І. Абрамчук, О.І. Воронков, А.І. Харченко та ін. // Двигуни внутрішнього згоряння. – 2011. – №2. – С. 110–117.
5. Борисенко К.С. Пневматические двигатели горных машин / К.С Борисенко. – М.: Углетехиздат, 1958. – 202 с.
6. Зиневич В.Д. Пневматические двигатели горных машин / В.Д. Зиневич, Г.З. Ярмоленко, Е.Г. Калита. – М.: Недра, 1975. – 372 с.
7. Зеленецкий С.Б. Ротационные пневматические двигатели / С.Б. Зеленецкий, Е.Д. Рябов, А.Г. Микеров. – Л.: Машиностроение, 1976. – 127 с.
8. Кухаренко В.П. Инженерный метод пересчета характеристик поршневого пневмодвигателя для различных давлений сжатого воздуха в сети / В.П. Кухаренко, В.В. Юшин, В.Ф. Гайдук. Вопросы рудничного транспорта. Вып. 9, 1965. – С. 259–262.
9. Guzzella L. The pneumatic hybridization concept for downsizing and supercharging gasoline engines / L. Guzzella, C. Onder, C. Donitz, C. Voser, I. Vasile // MTZ #71. 01/2010. – P. 38–44.
10. Butikofer M. High performance pneumatic hybrid engine with cost-effective valvetrain / M. Butikofer // MTZ #72. 02/2011. – Р. 54–58.

Рецензент: Ф.И. Абрамчук, профессор, д.т.н., ХНАДУ.

Статья поступила в редакцию 3 сентября 2012 г.